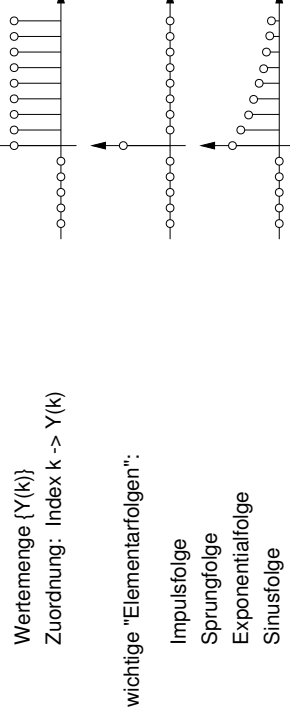


Digitale Signalverarbeitung (2)

- Motivation
- analog vs. digitale Signalverarbeitung
- Literatur
- Zahlenfolgen, LTI-Systeme
- Abtasttheorem
- Spektrum, FFT, Übertragungsfunktion
- Quantisierung, AD/DA Konverter, Dither

- Z-Transformation
- digitale Filter
- Dynamikbeeinflussung
- Raumsimulation, Hall

Zahlenfolgen, Elementarfolgen



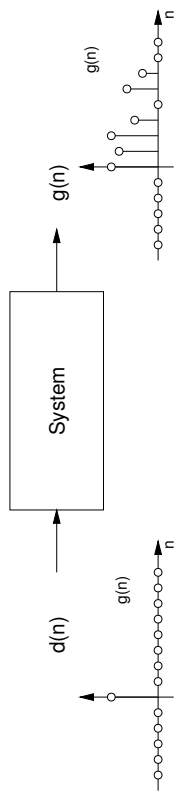
Impulsfolge:

- Konstruktion beliebiger Zahlenfolgen:
- Summe
 - skaliert
 - zeitverschobener Impulsfolgen
- $$x(n) = a_0 * d(n) + a_1 * d(n-1) + \dots$$

- gleichwertig: Konstruktion mit skalierten, zeitverschobenen
- Sprungfolgen

Impulsantwort

"Impulsantwort" := Ausgangsfolge als Reaktion auf die Impulsfolge



- => liefert vollständige Beschreibung von LTI-Systemen
"linear, time-invariant"
z.B. Verstärker, Filter, usw.
=> auch als lineare Approximation nichtlinearer Systeme

Differenzengleichungen

- Berechnung des Ausgangswerts $Y(n)$
- aus gegenwärtigem Eingangswert $X(n)$
- aus früheren Eingangswerten $X(n-k)$
- aus früheren Ausgangswerten $Y(n-k)$ (Rekursion)
- besonders wichtig: linear, konstante Koeffizienten, 2. Ordnung

$$y(n) = A_0 x(n) + A_1 x(n-1) + A_2 x(n-2) - B_1 y(n-1) - B_2 y(n-2)$$

Ordnung N: $B_1 \dots B_N$ kommen vor, $A_1 \dots A_M, M < N$

- Übertragungsfunktion $H(z)$ durch Z-Transformation:

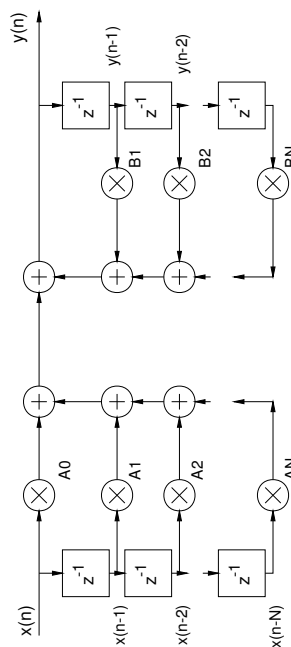
$$\begin{aligned} Y(z) &= A_0 X(z) + A_1 X(z)/z + A_2 X(z)/z^2 - B_1 Y(z)/z - B_2 Y(z)/z^2 \\ H(z) &= Y(z) / X(z) \end{aligned}$$

DGL: Direktform

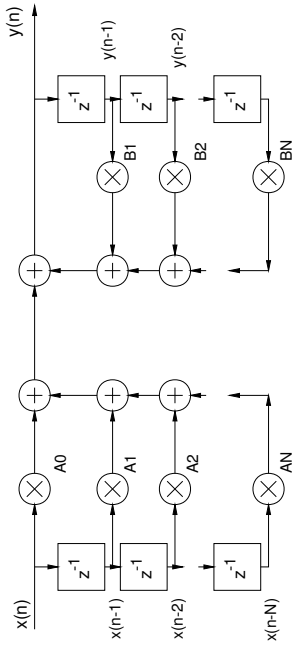
- Differenzengleichungen, linear, konstante Koeffizienten
 $y(n) = A_0 x(n) + A_1 x(n-1) + A_2 x(n-2) - B_1 y(n-1) - B_2 y(n-2)$

Umsetzung in "Direktform":

- Addition, Multiplikation, Verzögerung (=Register)



DGLs: Blockschaltbilder

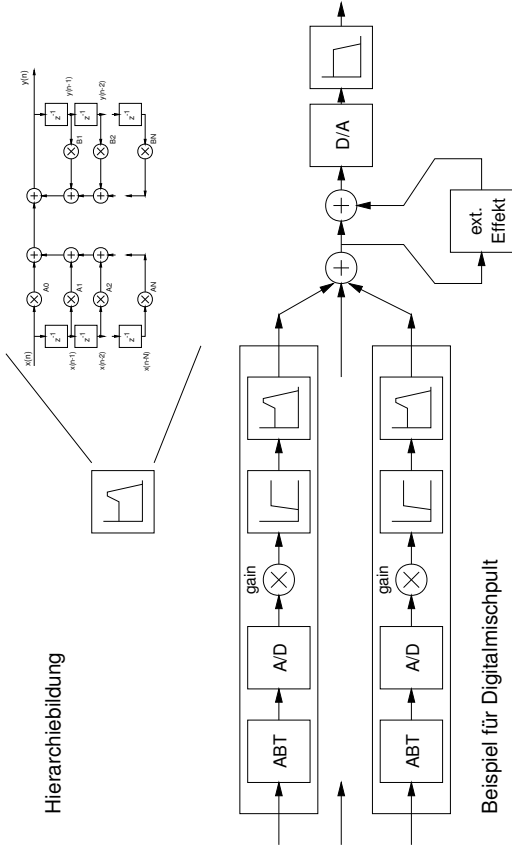


- Direktform erlaubt sofortige Realisierung von DSP-Algorithmen
- Varianten möglich (Vertauschen von Registern/Operatoren)
 - bei Bedarf zusätzlich weitere (z.B. nicht-lineare) Operatoren

=> Darstellung mit Blockschaltbildern

Blockschaltbilder:

Hierarchiebildung



Beispiel für Digitalmischkopf

Z-Transformation

Z-Transformation: Tabelle

Einer Zahlenfolge $x(n)$ wird durch die unendliche Summe

$$X(z) = \sum_{n=-\infty}^{+\infty} x(n) z^{-n} \quad (7.3)$$

eine gebrochen rationale Funktion $X(z)$ zugeordnet. Beim praktischen Gebrauch dieser Transformation spielen Korrespondenztabellen eine wichtige Rolle. Man strebt an, die Transformation vom Folgenbereich in den z-Bereich sowie auch in umgekehrter Richtung mit Hilfe der Tabellen durchzuführen. Dabei soll wieder zwischen Korrespondenzen für die Zahlenfolgen und Korrespondenzen für die Rechenoperationen unterschieden werden.

In der Regel wird die Z-Transformation als einseitige Transformation durchgeführt. Dabei werden kausale Zahlenfolgen transformiert, d.h. Folgen, deren Elemente für $n < 0$ verschwinden.

- Umwandlung Differenzengleichung -> algebr. Gleichung

Z-Transformation: Tabelle

Folgenbereich	z-Bereich
$e(n) e^{j2\pi f_0 n}$	$\frac{z}{z - e^{j2\pi f_0}}$
$e(n) \sin(2\pi f_0 n)$	$\frac{z - \sin(2\pi f_0)}{z^2 - 2z \cos(2\pi f_0) + 1}$
$e(n) \sin(2\pi f_0 n + \varphi)$	$\frac{z^2 \sin(\varphi) + \sin(2\pi f_0 \cdot \varphi)}{z^2 - 2z \cos(2\pi f_0) + 1}$
$e(n) \cos(2\pi f_0 n)$	$\frac{z(1 - \cos(2\pi f_0))}{z^2 - 2z \cos(2\pi f_0) + 1}$
$e(n) e^{2m}$	$\frac{z \sin(e^{j2\pi f_0} \cdot n + \varphi)}{z^2 - 2z e^{j2\pi f_0} + e^{j2m}}$
$e(n) e^{jn}$	$\frac{z \left[z - e^{j2\pi f_0} \right]}{z^2 - 2z e^{j2\pi f_0} + e^{j2m}}$
$e(n) n$	$\frac{z}{(z-1)^2}$
$e(n) \frac{1}{2} n^2$	$\frac{\ln(1-z)}{2(z-1)^3}$
$e(n) n e^{jn}$	$\frac{z - e^{j2\pi f_0}}{(z-e^{j2\pi f_0})^2}$

Z-Transformation: Eigenschaften

7.2.3 Korrespondenzen der Rechenoperationen

- $f(n) = 0$ für $n < 0$
- Berechnung via Summation der Reihe oder aus Tabellen
- Rücktransformation via Partialbruchzerlegung und Tabellen

In den periodischen Funktionen der nachfolgenden Tabelle ist f_0 eine bezogene, dimensionslose Frequenz, die angibt, wieviele Folgenteile auf eine Periode der Funktion entfallen.

Folgenbereich	z-Bereich
$f(n)$	$F(z)$
$f_1(n)$	$F_1(z)$
$f_2(n)$	$F_2(z)$
$c_1 f_1(n) + c_2 f_2(n)$	$c_1 F_1(z) + c_2 F_2(z)$
$f(n-N)$	$z^{-N} F(z)$
$f_1(n) * f_2(n)$	$F_1(z) F_2(z)$
$n f(n)$	$-z \frac{dF(z)}{dz}$
$e^{jn} f(n)$	$F\left[\frac{z}{e^{j2\pi f_0}}\right]$
$f(n) \cdot f(n-1)$	$\frac{z-1}{z} F(z)$
$\sum_{k=0}^n f(k)$	$\frac{z}{z-1} F(z)$

Z-Transformation: Beispiel

- Differenzengleichung zweiter Ordnung:

$$y(n) = A_0 x(n) + A_1 x(n-1) + A_2 x(n-2) - B_1 y(n-1) - B_2 y(n-2)$$

- Linearität: gliedweise Transformation in den z-Bereich

$$Y(z) = A_0 X(z) + A_1 X(z)/z + A_2 X(z)/z^2 - B_1 Y(z)/z + B_2 Y(z)/z^2$$

- Übertragungsfunktion $H(z) := Y(z) / X(z)$

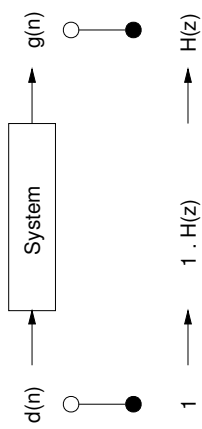
$$H(z) = \frac{A_0 + A_1/z + A_2/z^2}{1 + B_1/z + B_2/z^2}$$

- Realisierung der Zeitverzögerung 1/z: einfaches Register

Impulsantwort - Übertragungsfunktion

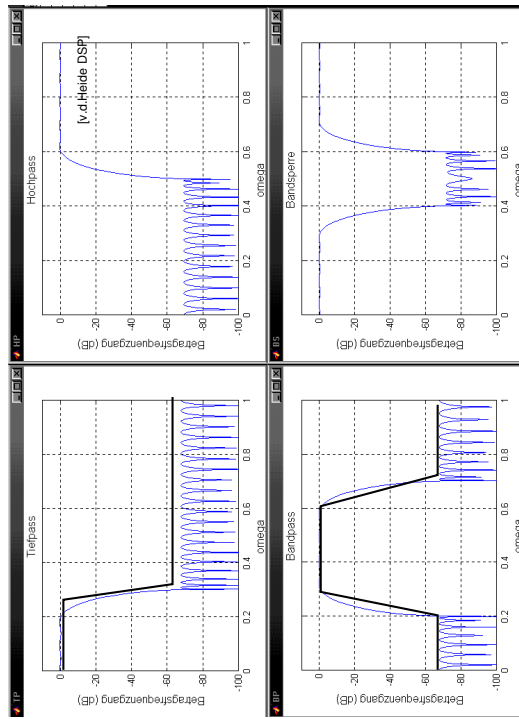


Beziehungen: Zeitbereich / Z-Bereich:

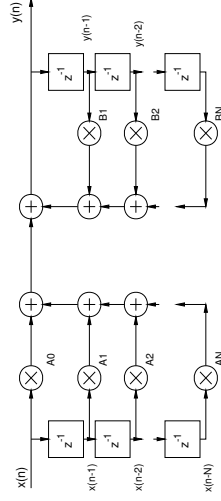


- Ausgangsfolge $y(n)$: als Faltung $x(n) * g(n)$

Filter: Tiefpass, Hochpass, etc.

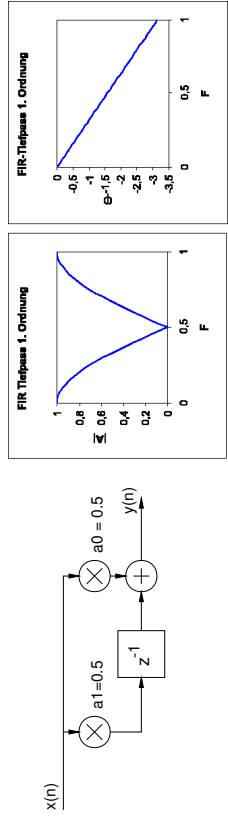


Filter: Frequenzgang



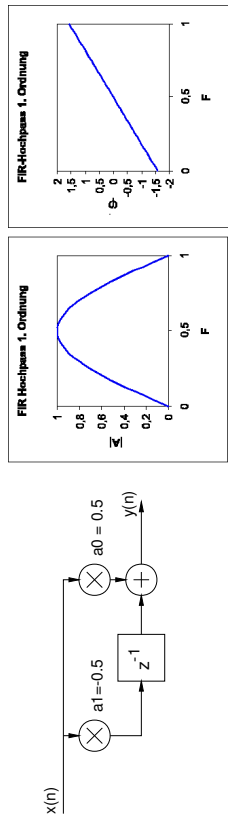
- normierte Frequenz $F = f/FA$
- direkte Berechnung des Frequenzgangs via $H(z)$:

$$|A(j\omega)| = \sqrt{\left[\sum_{k=0}^n \alpha_k \cos 2\pi k F \right]^2 + \left[\sum_{k=0}^n \beta_k \sin 2\pi k F \right]^2}$$

Filter: FIR-Tiefpass

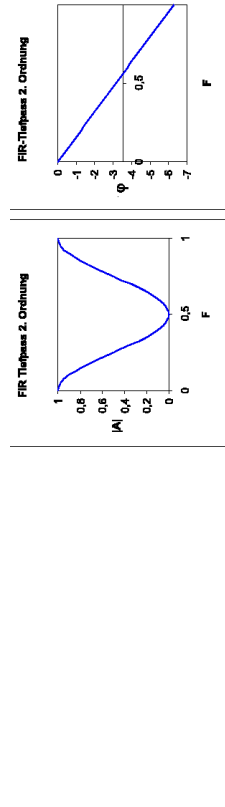
"minimale" Filterstruktur:

- zwei Koeffizienten, keine Rückkopplung
- Antwort auf $x(n) = 1, 1, 1, 1$ ($f=0$):
 $y(n) = 1, 1, 1, 1$
- Antwort auf $x(n) = 1, -1, 1, -1$ (f_{max}):
 $y(n) = 0, 0, 0, 0$

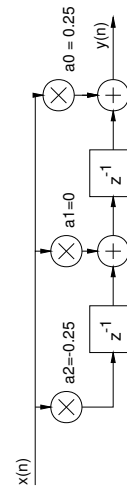
Filter: FIR-Hochpass

"minimale" Filterstruktur:

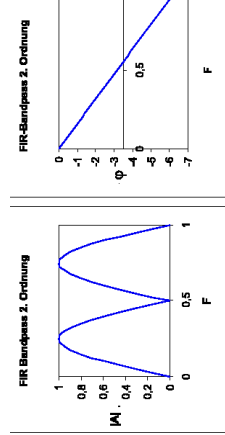
- zwei Koeffizienten, keine Rückkopplung
- Antwort auf $x(n) = 0, 0, 0, 0$:
 $y(n) = 0, 0, 0, 0$
- Antwort auf $x(n) = 1, 1, 1, 1$ ($f=0$):
 $y(n) = 1, 1, 1, 1$
- Antwort auf $x(n) = 1, -1, 1, -1$ (f_{max}):
 $y(n) = 1, 1, 1, -1$

Filter: FIR-Tiefpass

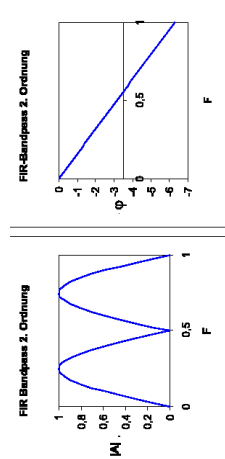
- Antwort auf $x(n) = 1, 1, 1, 1$ ($f=0$):
 $y(n) = 1, 1, 1, 1$
- Antwort auf $x(n) = 1, -1, 1, -1$ (f_{max}):
 $y(n) = 0, 0, 0, 0$



- Antwort auf $x(n) = 1, 1, 1, 1$ ($f=0$):
 $y(n) = 0, 0, 0, 0$
- Antwort auf $x(n) = 1, -1, 1, -1$ (f_{max}):
 $y(n) = 0, 0, 0, 0$

Filter: FIR-Bandpass

- Antwort auf $x(n) = 0, 0, 0, 0$:
 $y(n) = 0, 0, 0, 0$
- Antwort auf $x(n) = 1, 1, 1, 1$ ($f=0$):
 $y(n) = 1, 1, 1, 1$
- Antwort auf $x(n) = 1, -1, 1, -1$ (f_{max}):
 $y(n) = 1, 1, 1, -1$

Filter: FIR-Hochpass

- Antwort auf $x(n) = 0, 0, 0, 0$:
 $y(n) = 0, 0, 0, 0$
- Antwort auf $x(n) = 1, 1, 1, 1$ ($f=0$):
 $y(n) = 1, 1, 1, 1$
- Antwort auf $x(n) = 1, -1, 1, -1$ (f_{max}):
 $y(n) = 1, 1, 1, -1$

Filter: FIR - IIR

Filter: Frequenzgang bei FIR / IIR

zwei fundamentale Filterarchitekturen:

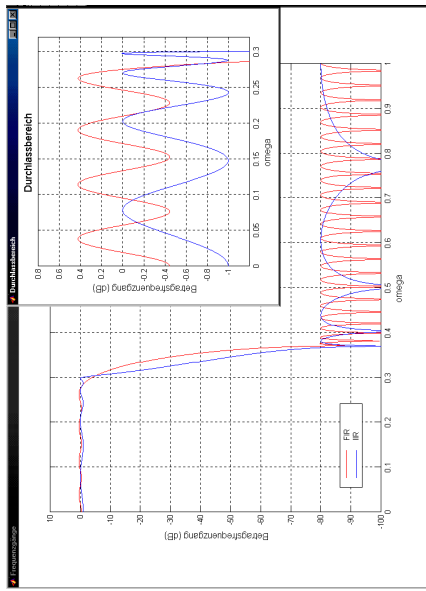
(siehe v.d.Heide DSP-VL)

- FIR, "finite impulse response"
- nichtrekursive Filter, $y(n) = \text{Summe } A[k] * x(n-k)$
- analog nicht realisierbar
- Ausgangssignal um $N(N/2)$ Perioden verzögert
- Frequenz- und Phasengang separat wählbar

IIR, "infinite impulse response"

- rekursive Realisierung, $y(n)$ abhängig von $x(n-k)$ und $y(n-m)$
- Impulsantwort (im Prinzip) unendlich lang
- benötigt weniger Koeffizienten als "gleichwertiges" FIR-Filter
- evtl. Stabilitätsproblem (bzw.: resonanzfähig)
- (z.B. durch Quantisierung der Koeffizienten eines stabilen Filters)

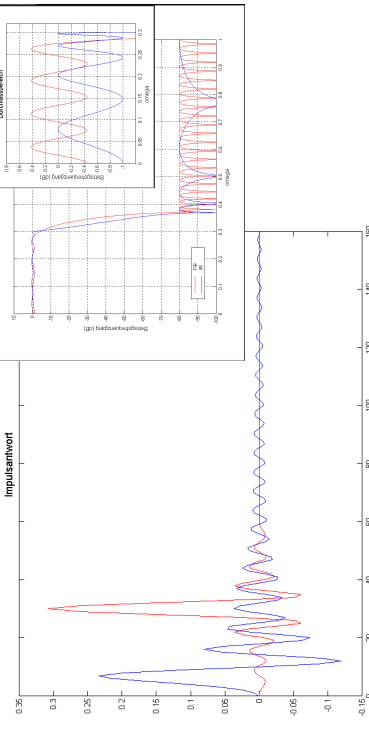
Digitale Audioverarbeitung | WS 2000 | 18.205



- "Ripple" im Durchlaß- und Sperrbereich
- Steilheit und Sperrdämpfung

Digitale Audioverarbeitung | WS 2000 | 18.205

Filter: Impulsantwort bei FIR / IIR



- Maximum der Impulsantwort bei FIR später als bei IIR (mehr Koeff.)
- sehr lange (infinite) Impulsantwort der IIR-Filters

Digitale Audioverarbeitung | WS 2000 | 18.205

Filter: Frequenzgang bei FIR / IIR

Eigenschaften der Filter voll durch die Koeffizienten A, B bestimmt

- diverse Algorithmen zur Berechnung der A, B
- abhängig von "Nebenbedingungen"

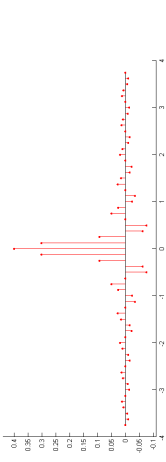
Frequenzgang möglichst

- glatt
- steil
- minimaler "ripple" im Durchlaß oder Sperrbereich
- etc.

- siehe Matlab-Demo Filterkennlinien

Digitale Audioverarbeitung | WS 2000 | 18.205

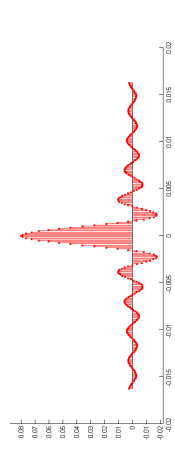
Filter: Anzahl der Koeffizienten (FIR)



- geringe Anzahl der Koeffizienten
- Frequenzgang nicht sehr steil

Digitale Audioverarbeitung | WS 2000 | 18.205

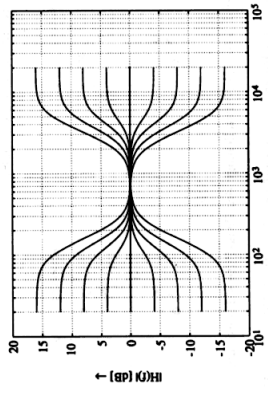
Filter: Anzahl der Koeffizienten (FIR)



- geringe Anzahl der Koeffizienten
- Frequenzgang wesentlich steiler, immer noch "ripple"

Digitale Audioverarbeitung | WS 2000 | 18.205

Filter: Klangregelung

Bild 5.8: Frequenzgänge eines Tiefen/Höhen-Shelving-Filters - Tiefen-Shelving-Filter $f_s = 100$ Hz (Parameter V_0), Höhen-Shelving-Filter $f_s = 3000$ Hz (Parameter V_0)

- "Shelving"-Filter zur Klangregelung Höhe/Bässe
- zwei Parameter: Trennfrequenz und Verstärkung/Dämpfung
- Hervorheben einzelner Instrumente / einzelner Nuancen
- Hörbeispiele mit Erläuterungen: "keyboards mix-tricks" Serie

Digitale Audioverarbeitung | WS 2000 | 18.205

Filter: Koeffizienten

Transformation in den Z-Bereich. Zur Realisierung eines digitalen Filters wird die im S-Bereich entworfene Übertragungsfunktion $H(s)$ mit Hilfe einer geeigneten Transformation in eine Übertragungsfunktion $H(z)$ überführt. Die impulsinvariante Transformation ist nicht geeignet, da sie bei einer nicht auf die halbe Abtastrate bandbegrenzten Übertragungsfunktion $H(s)$ auf die Überlappungseffekte im Frequenzgang führt. Eine unabhängige Transformation von Pol- und Nullstellen von der S-Ebene in Pol- und Nullstellen in der Z-Ebene ist mit Hilfe der bilinearen Transformation

$$s = \frac{2z-1}{Tz+1} \quad (5.16)$$

möglich. Die folgende Tabelle 5.2 enthält die Koeffizienten der Übertragungsfunktion 2. Ordnung

$$H(z) = \frac{a_0 + a_1 z^{-1} + a_2 z^{-2}}{1 + b_1 z^{-1} + b_2 z^{-2}}, \quad (5.17)$$

die mit der bilinearen Transformation und der Hilfsgröße $K = \tan(\omega_n T/2)$ für die verschiedenen Filtertypen bestimmt sind. Strategien zur zeitvarianten Umsetzung von Audio-Filters finden sich in [ZG93].

Digitale Audioverarbeitung | WS 2000 | 18.205

Filter: Koeffiziententabelle

Tabelle 5.2

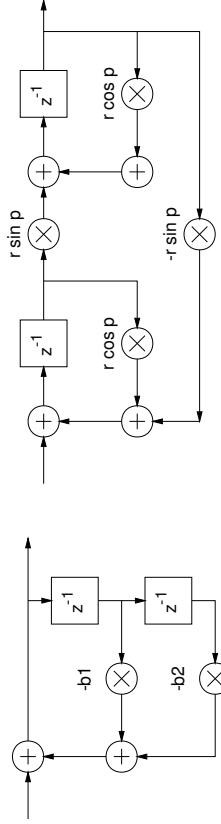
Audio-Filierzettel

	a_0	a_1	a_2	b_1	b_2
• alle üblichen Audiofilter					
Hochpass (2. Ordnung)	$\frac{1}{1+\sqrt{K} \times \sqrt{V}}$	$\frac{2\sqrt{K} \times \sqrt{V}}{1+\sqrt{K} \times \sqrt{V}}$	$\frac{1}{1+\sqrt{K} \times \sqrt{V}}$	$\frac{-2\sqrt{K} \times \sqrt{V}}{1+\sqrt{K} \times \sqrt{V}}$	$\frac{1-\sqrt{K} \times \sqrt{V}}{1+\sqrt{K} \times \sqrt{V}}$
Hochpass (2. Ordnung)	$\frac{1}{1+\sqrt{K} \times \sqrt{V}}$	$\frac{2\sqrt{K} \times \sqrt{V}}{1+\sqrt{K} \times \sqrt{V}}$	$\frac{1}{1+\sqrt{K} \times \sqrt{V}}$	$\frac{-2\sqrt{K} \times \sqrt{V}}{1+\sqrt{K} \times \sqrt{V}}$	$\frac{1-\sqrt{K} \times \sqrt{V}}{1+\sqrt{K} \times \sqrt{V}}$
Tiefpassabhang (Abstimmung: $V_0 = 10^{10} \text{ Hz}$)	$\frac{1}{1+\sqrt{K} \times \sqrt{V}}$	$\frac{2\sqrt{K} \times \sqrt{V}}{1+\sqrt{K} \times \sqrt{V}}$	$\frac{1}{1+\sqrt{K} \times \sqrt{V}}$	$\frac{-2\sqrt{K} \times \sqrt{V}}{1+\sqrt{K} \times \sqrt{V}}$	$\frac{1-\sqrt{K} \times \sqrt{V}}{1+\sqrt{K} \times \sqrt{V}}$
Hochpassabhang (Abstimmung: $V_0 = 10^{10} \text{ Hz}$)	$\frac{1}{1+\sqrt{K} \times \sqrt{V}}$	$\frac{2\sqrt{K} \times \sqrt{V}}{1+\sqrt{K} \times \sqrt{V}}$	$\frac{1}{1+\sqrt{K} \times \sqrt{V}}$	$\frac{-2\sqrt{K} \times \sqrt{V}}{1+\sqrt{K} \times \sqrt{V}}$	$\frac{1-\sqrt{K} \times \sqrt{V}}{1+\sqrt{K} \times \sqrt{V}}$
Hochschwund (Abstimmung: $V_0 = 10^{-10} \text{ Hz}$)	$\frac{1}{1+\sqrt{K} \times \sqrt{V}}$	$\frac{2\sqrt{K} \times \sqrt{V}}{1+\sqrt{K} \times \sqrt{V}}$	$\frac{1}{1+\sqrt{K} \times \sqrt{V}}$	$\frac{-2\sqrt{K} \times \sqrt{V}}{1+\sqrt{K} \times \sqrt{V}}$	$\frac{1-\sqrt{K} \times \sqrt{V}}{1+\sqrt{K} \times \sqrt{V}}$
Peak (Abstimmung: $V_0 = 10^{10} \text{ Hz}$)	$\frac{1}{1+\sqrt{K} \times \sqrt{V}}$	$\frac{2\sqrt{K} \times \sqrt{V}}{1+\sqrt{K} \times \sqrt{V}}$	$\frac{1}{1+\sqrt{K} \times \sqrt{V}}$	$\frac{-2\sqrt{K} \times \sqrt{V}}{1+\sqrt{K} \times \sqrt{V}}$	$\frac{1-\sqrt{K} \times \sqrt{V}}{1+\sqrt{K} \times \sqrt{V}}$
Peak (Abstimmung: $V_0 = 10^{-10} \text{ Hz}$)	$\frac{1}{1+\sqrt{K} \times \sqrt{V}}$	$\frac{2\sqrt{K} \times \sqrt{V}}{1+\sqrt{K} \times \sqrt{V}}$	$\frac{1}{1+\sqrt{K} \times \sqrt{V}}$	$\frac{-2\sqrt{K} \times \sqrt{V}}{1+\sqrt{K} \times \sqrt{V}}$	$\frac{1-\sqrt{K} \times \sqrt{V}}{1+\sqrt{K} \times \sqrt{V}}$

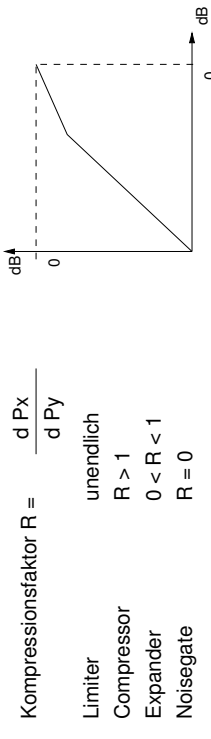
Filter: "Klang" digitaler Filter ?!

Klangvariationen digitaler Filter? ja, abhängig von

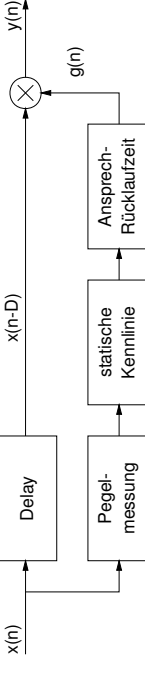
- Algorithmus (FIR, IIR)
- Architekturvarianten
- Wortbreiten, Rundungsfehler



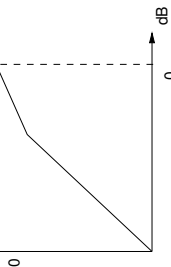
- analog: ohne Delay, daher Probleme bei schnellen Änderungen



Dynamikbearbeitung: Blockschaltbild



- Kompressionsfaktor $R = \frac{dPx}{dPy}$
- Limiter unendlich
- Compressor $R > 1$
- Expander $0 < R < 1$
- Noisegate $R = 0$



Dynamik-Bearbeitung

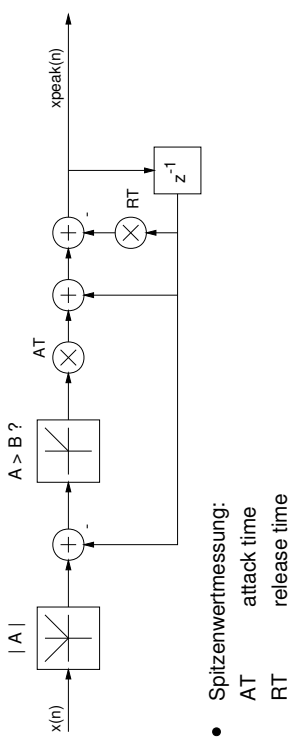
- Anpassen der Dynamik (Pegeldifferenzen):
- Schutz vor Übersteuerung, z.B. von A/D-Wandlern "limiter"
- Unterdrückung kleiner Störsignale "noise gate"
- Anpassen großer Pegeldifferenzen an schlechteres System
- Optimierung der Lautheit (insb. Popmusik) "compressor"
- Anpassen an Umgebungseinflüsse
- Lautstärkeregelung im Auto

Tabelle 5.2

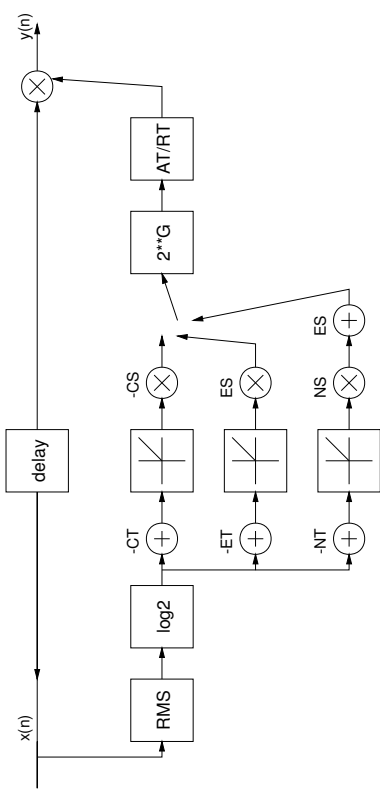
Audio-Filierzettel

	a_0	a_1	a_2	b_1	b_2
• alle üblichen Audiofilter					
Hochpass (2. Ordnung)	$\frac{1}{1+\sqrt{K} \times \sqrt{V}}$	$\frac{2\sqrt{K} \times \sqrt{V}}{1+\sqrt{K} \times \sqrt{V}}$	$\frac{1}{1+\sqrt{K} \times \sqrt{V}}$	$\frac{-2\sqrt{K} \times \sqrt{V}}{1+\sqrt{K} \times \sqrt{V}}$	$\frac{1-\sqrt{K} \times \sqrt{V}}{1+\sqrt{K} \times \sqrt{V}}$
Hochpass (2. Ordnung)	$\frac{1}{1+\sqrt{K} \times \sqrt{V}}$	$\frac{2\sqrt{K} \times \sqrt{V}}{1+\sqrt{K} \times \sqrt{V}}$	$\frac{1}{1+\sqrt{K} \times \sqrt{V}}$	$\frac{-2\sqrt{K} \times \sqrt{V}}{1+\sqrt{K} \times \sqrt{V}}$	$\frac{1-\sqrt{K} \times \sqrt{V}}{1+\sqrt{K} \times \sqrt{V}}$
Tiefpassabhang (Abstimmung: $V_0 = 10^{10} \text{ Hz}$)	$\frac{1}{1+\sqrt{K} \times \sqrt{V}}$	$\frac{2\sqrt{K} \times \sqrt{V}}{1+\sqrt{K} \times \sqrt{V}}$	$\frac{1}{1+\sqrt{K} \times \sqrt{V}}$	$\frac{-2\sqrt{K} \times \sqrt{V}}{1+\sqrt{K} \times \sqrt{V}}$	$\frac{1-\sqrt{K} \times \sqrt{V}}{1+\sqrt{K} \times \sqrt{V}}$
Hochpassabhang (Abstimmung: $V_0 = 10^{10} \text{ Hz}$)	$\frac{1}{1+\sqrt{K} \times \sqrt{V}}$	$\frac{2\sqrt{K} \times \sqrt{V}}{1+\sqrt{K} \times \sqrt{V}}$	$\frac{1}{1+\sqrt{K} \times \sqrt{V}}$	$\frac{-2\sqrt{K} \times \sqrt{V}}{1+\sqrt{K} \times \sqrt{V}}$	$\frac{1-\sqrt{K} \times \sqrt{V}}{1+\sqrt{K} \times \sqrt{V}}$
Hochschwund (Abstimmung: $V_0 = 10^{-10} \text{ Hz}$)	$\frac{1}{1+\sqrt{K} \times \sqrt{V}}$	$\frac{2\sqrt{K} \times \sqrt{V}}{1+\sqrt{K} \times \sqrt{V}}$	$\frac{1}{1+\sqrt{K} \times \sqrt{V}}$	$\frac{-2\sqrt{K} \times \sqrt{V}}{1+\sqrt{K} \times \sqrt{V}}$	$\frac{1-\sqrt{K} \times \sqrt{V}}{1+\sqrt{K} \times \sqrt{V}}$
Peak (Abstimmung: $V_0 = 10^{10} \text{ Hz}$)	$\frac{1}{1+\sqrt{K} \times \sqrt{V}}$	$\frac{2\sqrt{K} \times \sqrt{V}}{1+\sqrt{K} \times \sqrt{V}}$	$\frac{1}{1+\sqrt{K} \times \sqrt{V}}$	$\frac{-2\sqrt{K} \times \sqrt{V}}{1+\sqrt{K} \times \sqrt{V}}$	$\frac{1-\sqrt{K} \times \sqrt{V}}{1+\sqrt{K} \times \sqrt{V}}$
Peak (Abstimmung: $V_0 = 10^{-10} \text{ Hz}$)	$\frac{1}{1+\sqrt{K} \times \sqrt{V}}$	$\frac{2\sqrt{K} \times \sqrt{V}}{1+\sqrt{K} \times \sqrt{V}}$	$\frac{1}{1+\sqrt{K} \times \sqrt{V}}$	$\frac{-2\sqrt{K} \times \sqrt{V}}{1+\sqrt{K} \times \sqrt{V}}$	$\frac{1-\sqrt{K} \times \sqrt{V}}{1+\sqrt{K} \times \sqrt{V}}$

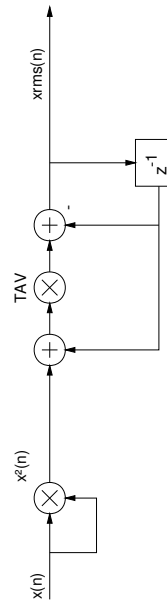
Dynamik: Pegelmessung



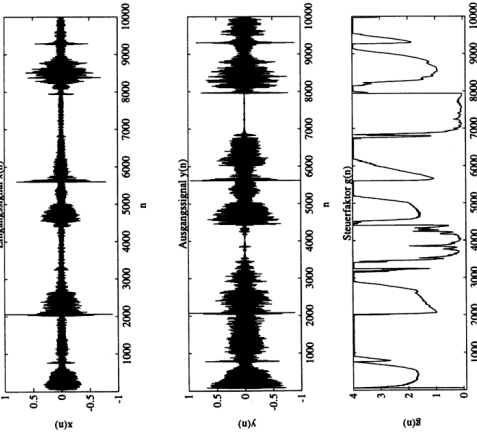
Dynamik: Kompressor / Expander / Noisegate



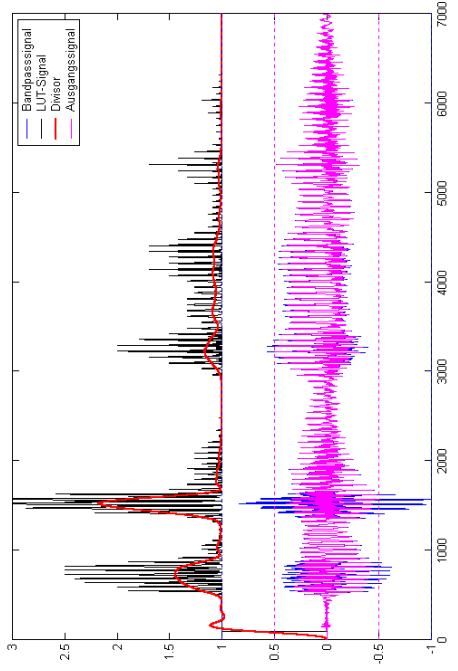
Dynamik: Mittelwert Pegelmessung



Kompression: Beispiel

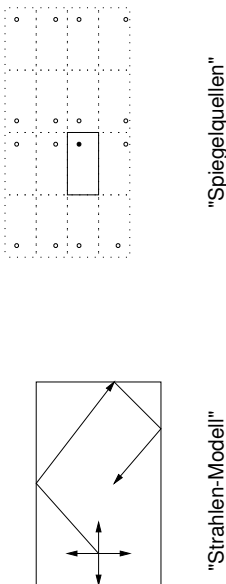
Bild 7.11: Zeitsignale $x(n)$, $y(n)$ und $g(n)$ der Dynamikbeeinflussung [Zölzer]

Kompression: Beispiel



Digitale Audioverarbeitung | WS 2000 | 18.205

Hall: Box-Modell



mathematisches Modell eines Raums (als Übertragungsfunktion)

- in einfachen Fällen (Box) exakt lösbar
- ansonsten numerische Näherung

- aber: "echter" Hall ist extrem aufwendig
- => Suche nach vereinfachten Algorithmen

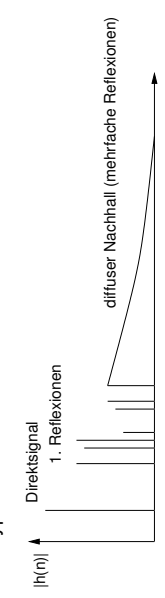
Digitale Audioverarbeitung | WS 2000 | 18.205

Raumsimulation, Hall

Raumsimulation := künstliche Erzeugung einer Raumakustik

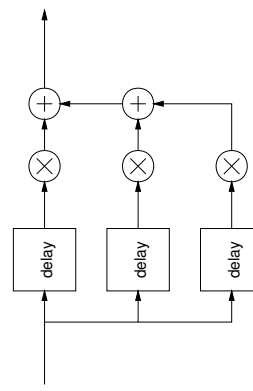
- Originalsignal
- Reflexionen an Wänden / anderen Objekten

- typischer Verlauf:



Digitale Audioverarbeitung | WS 2000 | 18.205

Hall: erste Reflexionen

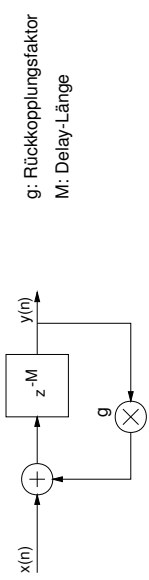


- direktes Erzeugen der wichtigen ersten Reflexionen
- mit mehrfacher Verzögerung
- evtl. auch Stereo / räumlich differenziert

- "Räumlichkeit" := psychoakustische Bewertung der Reflexionen
- angenehme Werte abhängig vom Signal (Klassik Pop, Sprache, ...)

Digitale Audioverarbeitung | WS 2000 | 18.205

Hall: diffuser Nachhall



Erzeugen des "diffusen" Hallanteils ?!

- zusammen gesetzt aus sehr hoher Anzahl von Teilreflektionen
 - direkte Simulation per delay/Faktor zu aufwendig
 - Vereinfachungen notwendig
- =>
- rekursive Filter, z.B. Kammfilter / Allpaßfilter
 - mit exponentiellem Abfall der Impulsantwort
 - aber keine "Verdichtung" des Hallsignals

Digitale Audioverarbeitung | WS 2000 | 18.205

Hall: diffuser Nachhall

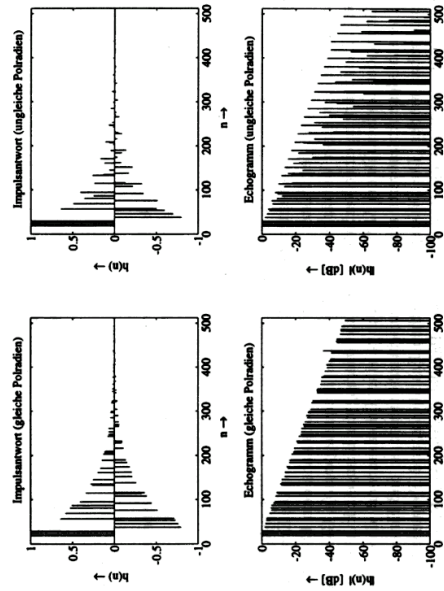


Bild 6.19: Impulsantwort und Echogramm (mehrere Kammfilter parallel)

Digitale Audioverarbeitung | WS 2000 | 18.205

Hall: Kammfilter / Allpaßfilter

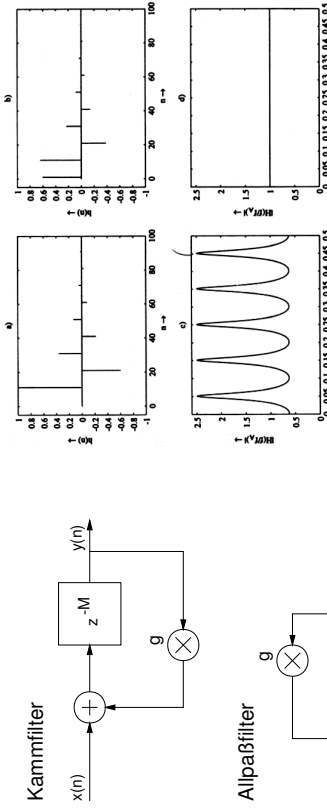
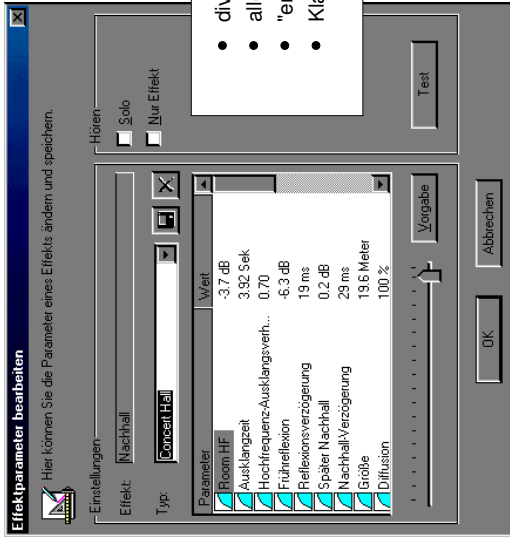


Bild 6.14: a) Impulsantwort Kammfilter ($M=10, g=0.6$), b) Impulsantwort Allpaßfilter ($M=10, g=0.6$), c) Betragsverzweigung Kammfilter.

- jeweils Impulsantwort
- und Frequenzgang
- exp. Abklingen der Impulsantwort

Digitale Audioverarbeitung | WS 2000 | 18.205

Hall: Soundblaster Live



Digitale Audioverarbeitung | WS 2000 | 18.205